



ОБЪЕДИНЕННЫЙ ИНСТИТУТ ЯДЕРНЫХ ИССЛЕДОВАНИЙ  
ЛАБОРАТОРИЯ НЕЙТРОННОЙ ФИЗИКИ

Б. Кюн, В.И. Салацкий, И.В. Сизов

P-830

ИССЛЕДОВАНИЕ РЕАКЦИИ  
 $C^{12} (t, p) C^{14}$   
ЖЭТФ, 1962, Т43, №5, с 1660-1664.

Б. Кюн, В.И. Салацкий, И.В. Сизов

P-830

ИССЛЕДОВАНИЕ РЕАКЦИИ  
 $C^{12} (t, p) C^{14}$

объединенный институт  
ядерных исследований  
БИБЛИОТЕКА

1289/3 35

## А н и о т а ц и я

На электростатическом генераторе, ускоряющем ионы трития, измерены дифференциальные сечения реакции  $C^{12} / t, p/C^{14}$  для основного состояния остаточного ядра  $C^{14}$ . Измерения в лабораторной системе для основного состояния выполнены под углом  $90^\circ$  в лабораторной системе в диапазоне энергий ионов трития  $0,32 - 1,18$  Мэв. Для ряда энергий этого диапазона измерены также угловые распределения протонов в интервале углов  $0-115^\circ$  лабораторной системы. Получены полные сечения реакции при энергиях ионов трития от  $0,37$  до  $1,16$  Мэв.

The differential cross sections for the reaction  $C^{12} / t, p/C^{14}$  have been measured for the ground state of the residual  $C^{14}$  nucleus using the electrostatic generator accelerating the tritium ions. The measurements have been performed for the ground state at  $90^\circ$  in the lab. system in the tritium ion energy range of  $0.32 - 1.18$  MeV. For some energies of this range the angular proton distributions have been also measured in the angle interval of  $0 - 115^\circ$  ( lab. system ). The total cross sections have been obtained at the tritium ion energy of  $0.37$  up to  $1.16$  MeV.

Реакции ядер трития с углеродом до настоящего времени мало изучены. В работе<sup>1/</sup> измерен выход нейтронов под углом  $0^\circ$  из реакции  $C^{12}/t, n / N^{14}$  в диапазоне энергий ионов трития от 0,35 до 2,4 Мэв. Было обнаружено семь резонансов, соответствующих возбужденным уровням составного ядра  $N^{15}$ . Для пяти значений энергии ускоренных ионов трития измерены угловые распределения нейтронов и получены полные сечения.

В работе<sup>2/</sup> измерялись угловые распределения протонов из реакции  $C^{12}/t, p / C^{14}$  и группы  $\alpha$ -частиц из реакции  $C^{12}/t, \alpha / B^{11}$  при энергии ионов трития 1,5 Мэв. Было показано, что угловое распределение протонов имеет максимум в направлении вперед и минимум при  $70^\circ$ ;  $\alpha$ -частицы дают широкий максимум при угле  $70^\circ$ .

При более высоких энергиях реакций типа ( $t, p$ ) привлекают внимание исследователей, так как они в основном протекают в виде прямого взаимодействия /без образования составного ядра/, поэтому в ряде случаев удается провести удачное сравнение экспериментально измеренных угловых распределений с предсказаниями теории двойного стриппинга<sup>3/</sup>. Вид угловых распределений позволяет установить спин и четность уровней остаточных ядер в тех случаях, когда спин и четность начального и конечного состояний известны.

Так, в работе<sup>4/</sup> исследовались угловые распределения шести групп протонов из реакции  $C^{12}/t, p / C^{14}$ , соответствующих возбужденным состояниям остаточного ядра  $C^{14}$ . Энергия бомбардирующих ионов трития составляла 5,5 Мэв. Проведен анализ угловых распределений по теории двойного стриппинга и дана схема уровней ядра  $C^{14}$ .

Настоящая работа посвящена измерению угловых распределений протонов, дифференциальных и полных сечений реакции  $C^{12}/t, p / C^{14}$  с целью получения данных для изучения механизма этой реакции при сравнительно низких энергиях бомбардирующих ионов трития. Кроме того эти данные представляют практический интерес при исследованиях других реакций с тритием для учета вклада от реакции  $C^{12} + t$ , идущей на неизбежно присутствующих углеродных загрязнениях всех мишеней.

## Техника эксперимента

---

Ионы трития, ускоренные электростатическим генератором на 1,2 Мэв ОИЯИ, бомбардировали тонкую углеродную мишень, полученную испарением графита в вакууме на алюминиевую подложку толщиной  $3 \text{ мг}/\text{см}^2$ . Мишень изготовлена по методу, описанному в работе<sup>/5/</sup>. Мишень устанавливалась под углом  $45^\circ$  относительно падающего пучка ионов трития. Потери энергии ионов трития в углероде определялись по кривой тормозной способности углерода, полученной по данным, приведенным в работах<sup>/6,7,8/</sup>. Точность этой кривой примерно 5%. Толщина углеродного слоя мишени была получена из сравнения выхода протонов из реакции на твердой и газовой мишени при одинаковой энергии взаимодействующих частиц /850 Кэв/. Она оказалась равной  $70 \text{ мг}/\text{см}^2$ , что соответствует полной потере энергии 58 Кэв при  $E_t = 850 \text{ Кэв}$  и 32 Кэв при  $E_t = 1200 \text{ Кэв}$ .

Для измерения угловых распределений протонов из реакции использовалась ранее описанная универсальная вакуумная камера<sup>/8/</sup>. Протоны регистрировались с помощью вращающегося вокруг мишени фотоумножителя ФЭУ-31 с кристаллом  $\text{CsI}$ . Конструкция камеры обеспечивала возможность измерения угловых распределений в пределах  $0$ - $155^\circ$  в лабораторной системе. В качестве монитора служил второй спартилляционный счетчик с ФЭУ-29 и кристаллом  $\text{CsI}$ , расположенный под углом  $90^\circ$  относительно падающего пучка ионов трития.

Импульсы от вращающегося счетчика подавались на многоканальный амплитудный анализатор, что позволяло отделать импульсы интересующей нас группы протонов от импульсов фона и других реакций, обусловленных подложкой и возможными загрязнениями мишени.

Угловые распределения измерялись через  $10^\circ$  в диапазоне углов  $0$ - $155^\circ$ . Угловое разрешение вращающегося счетчика составляло  $\pm 3,5^\circ$ . Статистические ошибки измерения каждой точки составляли  $\pm 3\%$ .

Для измерения относительного выхода протонов под углом  $90^\circ$  в зависимости от энергии ионов трития была примечена камера, ранее использо-

здавшаяся при исследованиях Т-Т реакции <sup>/10/</sup>. Измерения проводились на твердой углеродной мишени той же толщины, что и при измерениях угловых распределений. Детектором протонов служил сцинтилляционный счетчик с ФЭУ-28 и кристаллом  $\text{CsJ}$ . Импульсы от счетчика анализировались многоканальным амплитудным анализатором. На рис. 1 приведен один из спектров импульсов, измеренный при  $E_t = 850$  Кэв. Применение тонкой твердой мишени для измерения относительного выхода реакции имеет определенные преимущества перед газовой мишенью. Твердая мишень выдерживает большую плотность пучка (что особенно важно при измерениях реакций с малым сечением), обеспечивает лучшую определенность энергии взаимодействующих ионов и более проста в обращении. В тоже время ее основной недостаток - большие трудности в точном определении числа атомов мишени.

В настоящей работе абсолютное значение дифференциального сечения было определено на газовой мишени при  $E_t = 850$  Кэв. Конструкция мишени аналогична описанной в работе <sup>/10/</sup>. Мишень наполнялась углеродо-содержащими веществами:  $\text{C}_6\text{H}_6$ ,  $\text{C}_3\text{H}_8$ ,  $\text{CH}_4$  и  $\text{CO}_2$ . Давление газа в мишени составляло около 60 мм  $Hg$ . Наполнение мишениарами бензола и пропана оказалось малопригодным для точного измерения дифференциального сечения реакции, так как с такими наполнителями мишени были неустойчивыми в работе. При прохождении ионов трития через мишень происходило разложение молекул бензола и пропана, давление в мишени возрастало, на поверхности слюдяной пленки, ограничивающей газовый объем мишени, быстро нарастал слой углерода и энергия взаимодействующих ядер трития становилась неопределенной. По этой причине измерения на  $\text{C}_6\text{H}_6$  и  $\text{C}_3\text{H}_8$  носили качественный характер и служили дополнительным средством идентификации различных пиков в спектре импульсов, измеренном на газовой мишени.

На рис. 2 приведены спектры импульсов для различных наполнений мишени.

Основные измерения дифференциального сечения выполнены с мишениями, наполненными метаном и  $\text{CO}_2$ . Измерения на  $\text{CO}_2$  дали заниженный

на несколько процентов результат по сравнению с метаном, что можно объяснить либо недостаточно точным учетом вклада от реакции  $O^{16}(t, p)O^{18}$ , либо неполной очисткой  $CO_2$  от посторонних примесей. Поскольку спектр импульсов протонов из реакции  $C^{12}/t, p/c^{14}$ , измеренный на метане, более четко выражен, чем на  $CO_2$ , в окончательный результат вошли измерения, выполненные на метане.

#### Результаты измерений

На рис. 3 приведена кривая дифференциального сечения реакции  $C^{12}/t, p / C^{14}$  под углом  $90^\circ$ , полученная из измерений относительного выхода на твердой мишени и нормированная к дифференциальному сечению  $/232,7 \pm 4,6/$  мбарн /стерад., измеренному на газовой мишени при  $E_t = 850$  Кэв.

Эта кривая характеризуется наличием двух максимумов при энергиях 850 и 1117 Кэв. Первый из этих максимумов не проявляется столь отчетливо на кривых полного сечения и дифференциальных сечений при других углах и обусловлен, по-видимому, характером угловых распределений.

Второй максимум сохраняется как на кривой полного сечения, так и на кривых дифференциального сечения для углов  $0^\circ$ ,  $40^\circ$ ,  $70^\circ$  и  $150^\circ$  и свидетельствует о наличии резонанса, связанного с уровнем составного ядра  $N^{15}$  с энергией возбуждения 15,74 Мэв.

На рис. 4,5,6,7 даны угловые распределения протонов для ряда энергий бомбардирующих ионов трития. Как видно из приведенных рисунков, угловые распределения не симметричны относительно угла  $90^\circ$  в системе центра масс и очень сильно зависят от энергии бомбардирующих частиц. По мере приближения к резонансу при  $E_t = 1117$  Кэв выход протонов "влево" и "назад" выравнивается, хотя полная симметрия не наблюдается и в этом случае. Данная реакция не может быть полностью объяснена с точки зрения изолированного уровня составного ядра; видно, что даже при сравнительно низких энергиях бомбардирующих частиц возможен определенный вклад иных процессов.

В приведенной ниже таблице даны значения полных сечений реакции, полученные интегрированием угловых распределений.

$E_T$ /КэВ/	$\sigma$ /м барн/	$E_T$ /КэВ/	$\sigma$ /м барн/	$E_T$ /КэВ/	$\sigma$ /м барн/
372	$0,10 \pm 0,01$	698	$2,22 \pm 0,06$	986	$4,32 \pm 0,12$
500	$0,58 \pm 0,02$	753	$2,84 \pm 0,07$	1062	$5,96 \pm 0,17$
595	$1,03 \pm 0,03$	818	$2,83 \pm 0,07$	1094	$12,44 \pm 0,36$
646	$1,47 \pm 0,04$	868	$3,32 \pm 0,09$	1111	$13,68 \pm 0,37$
673	$2,03 \pm 0,05$	924	$3,71 \pm 0,10$	1160	$9,96 \pm 0,28$

В таблице указана среднеквадратичная ошибка измерения без учета точности определения энергии взаимодействующих ионов трития. Ошибка в определении энергии взаимодействия менялась от 2% при  $E_T = 400$  Кэв до 1% при  $E_T = 1200$  Кэв.

В заключение авторы считают своим долгом выразить благодарность Цзень Най Гуну за помощь в проведении измерений, А.П. Кобзеву за участие в обработке данных, Ф.Л. Шапиро за полезные советы в обсуждении полученных результатов и группе обслуживания электростатического генератора.

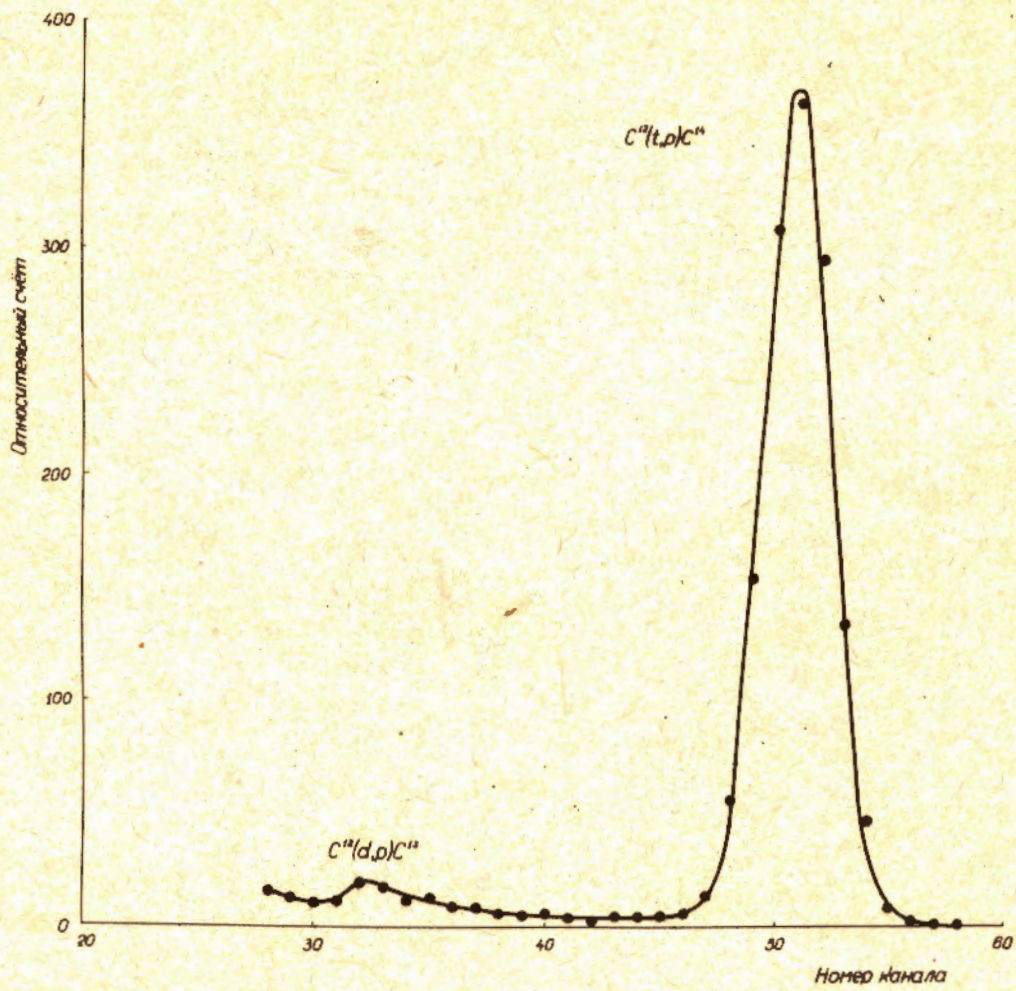


Рис. 1. Спектр протонов из твердой мишени.

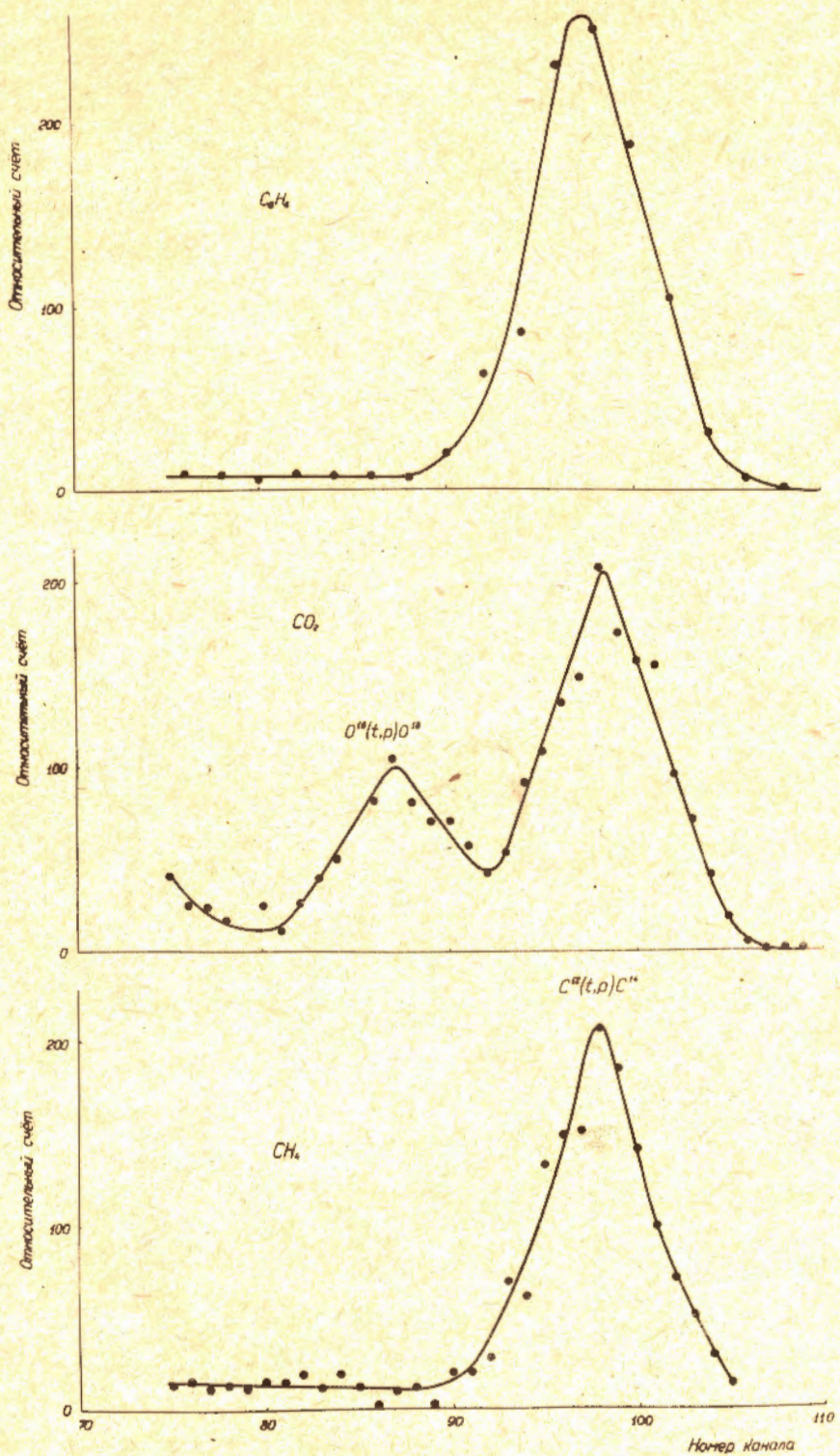


Рис. 2. Спектры протонов из газовых мишеней.

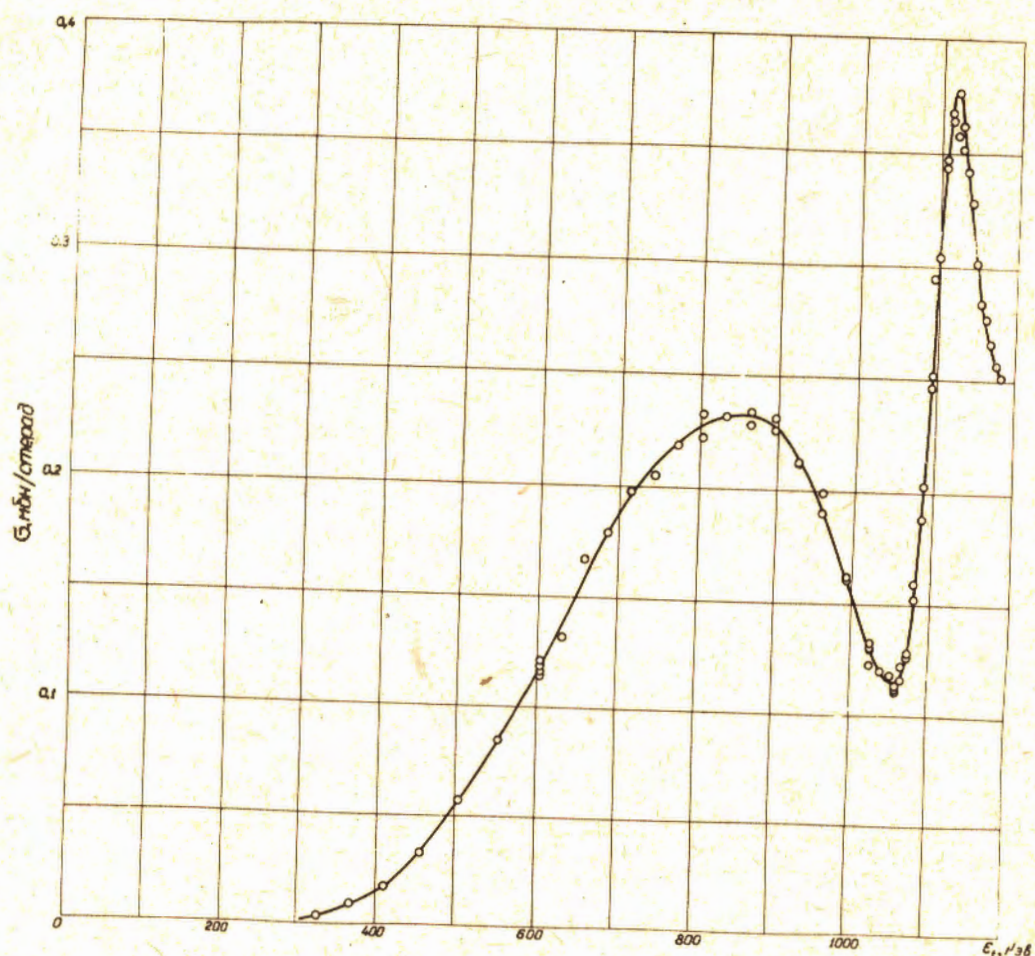


Рис. 3. Дифференциальное сечение реакции  $C^{12}(t,p)C^{14}$  под углом  $90^\circ$  в лабораторной системе.

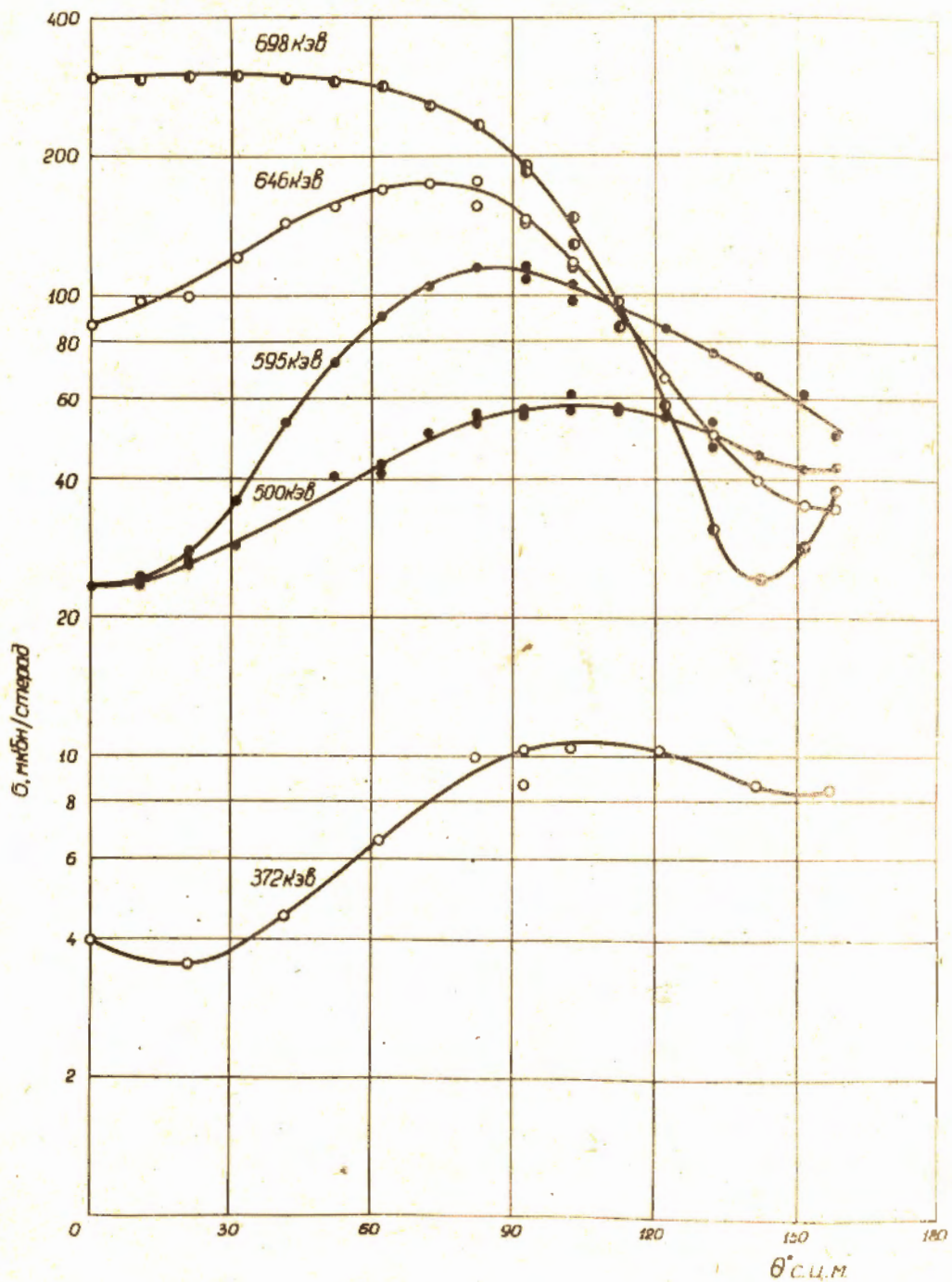


Рис. 4.

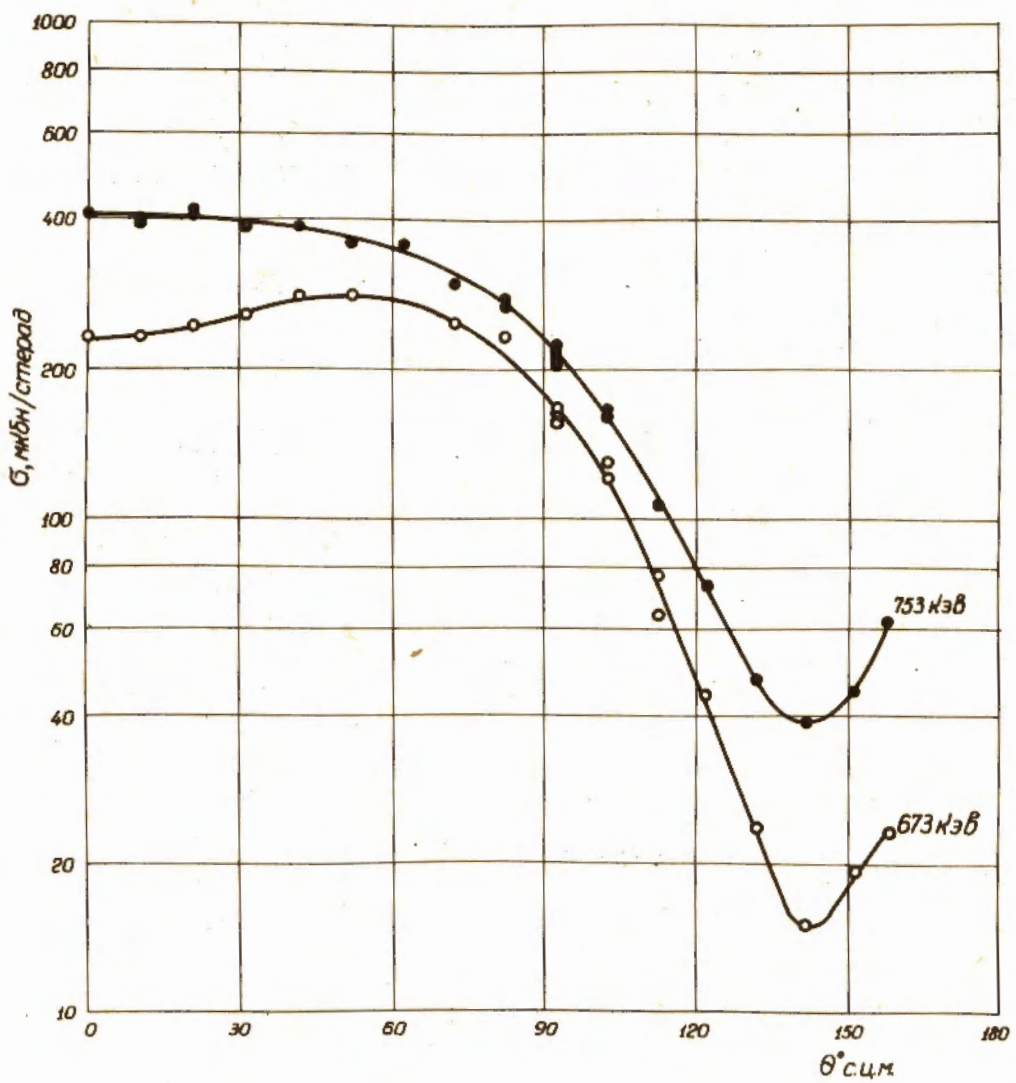


Рис. 5.

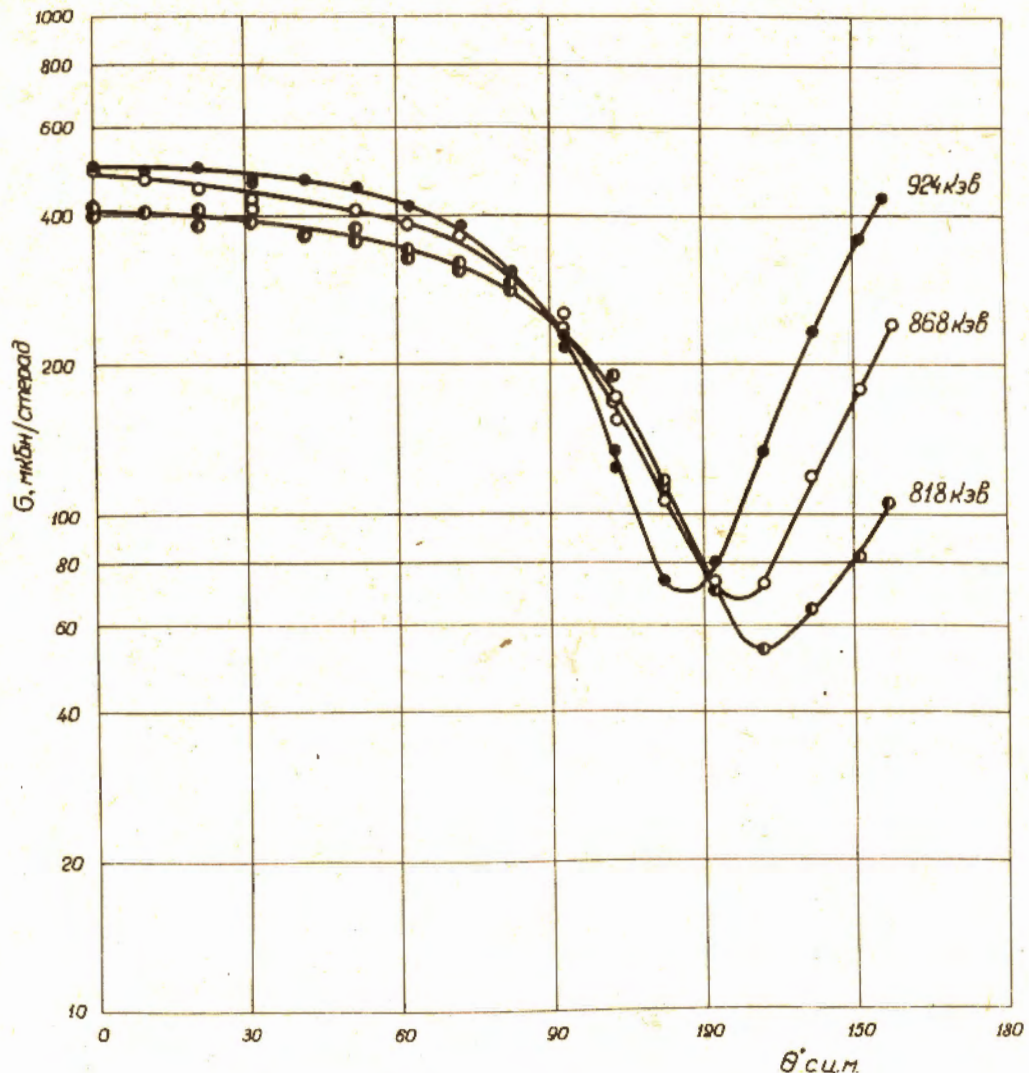


Рис. 6.